

واسنجی دستگاه TDR با استفاده از محفظه‌های مکش آب جهت اندازه گیری غلظت املالح در دو خاک لومی و لوم ماسهای

فریبرز عباسی

عضو هیأت علمی (استادیار) مؤسسه تحقیقات فنی و مهندسی کشاورزی
(تاریخ دریافت: 15/5/86 - تاریخ تصویب: 12/4/87)

چکیده

دستگاه TDR به ابزاری مؤثر و با ارزش در علوم خاک برای اندازه‌گیری رطوبت و هدایت الکتریکی توده خاک (ECa) تبدیل گردیده است. لیکن واسنجی آن بخصوص برای اندازه‌گیری غلظت املالح در مقیاس بزرگ و شرایط مزرعه چندان ساده نیست. معمولاً برای اندازه‌گیری غلظت املالح توسط TDR چند سری واسنجی نیاز است تا بتوان ابتدا مقاومت ظاهری را به ECa و سپس هدایت الکتریکی توده خاک را به هدایت الکتریکی آب خاک (ECw) مرتبط نمود. در این تحقیق نحوه واسنجی پربهای TDR برای اندازه‌گیری غلظت املالح در لایسیمترهای بزرگ حاوی دو نمونه خاک لومی و لوم ماسهای دست نخورده بررسی و پدیده خاصی تحت عنوان پدیده پس ماند املالح که ممکن است هنگام واسنجی پربهای TDR برای اندازه‌گیری غلظت املالح اتفاق افتد، معروفی گردیده است. لایسیمترها دارای حجم تقریبی 0/5 متر مکعب و به وسایل اندازه‌گیری مختلف نظر TDR برای اندازه‌گیری رطوبت و هدایت الکتریکی خاک، حسگرهای اندازه‌گیری درجه حرارت، محفظه‌های مکش برای تعیین آب خاک، باران سنج برای اندازه‌گیری شدت جريان خروجی و EC مترهای تعیین آب خروجی از لایسیمترها، مجهر گردیدند. پس از آبشویی لایسیمترها، دو سری آزمایش برای واسنجی پربهای انجام شد. ابتدا پربهای خارج از خاک در شش سری محلول KCl در بازه صفر تا 5 واسنجی گردیدند. در این واسنجی ثابت پربهای (Kp) و مقاومت کابل و اتصالات (Zcable) تعیین شدند. سپس، با انجام یک واسنجی دیگر در خاک، بین مقادیر ECa و مقادیر TDR و مقادیر ECw که بواسیله محفظه‌های مکش نمونه برداری شده بودند، ارتباط برقرار گردید. بدین منظور، یک آزمایش انتقال املالح در شرایط غیر اشباح ولی تقریباً پایدار رطوبتی بر روی هر یک از لایسیمترها اجراء گردید. مقادیر ثابت پربهای (Kp) و مقاومت کابل و اتصالات مربوطه (Zcable) از یک پربه تا پربه دیگر متفاوت بود. مقادیر Kp بین 1/009 تا 1/211 با ضریب تغییرات 2/25 درصد و مقادیر Zcable بین 0/009 تا 1/122 با ضریب تغییرات 7/61 درصد تغییر نمودند. هنگام ترسیم رابطه بین ECa و ECw رفتار خاصی شبیه پدیده پس ماند رطوبتی بین مقادیر اندازه‌گیری شده بواسیله TDR و محفظه‌های مکش مشاهده گردید. این پدیده به وضوح در هر دو خاک مورد مطالعه و در همه پربهای مشاهده گردید. در این مقاله، دلایل این پدیده بحث و راه حل واسنجی پربهای در چنین شرایطی ارائه گردیده است.

واژه‌های کلیدی: واسنجی TDR، محفظه‌های مکش، غلظت املالح، پسماند.

کابل و سایر اتصالات موجب می‌شود که TDR هدایت الکتریکی را کمتر برآورد نماید (6، 9، 13). اخیراً، لین و همکاران (2007) نشان دادند که زمان قرائت بازتاب امواج نقش مهمی در دقت TDR در اندازه‌گیری EC خاک دارد. سه روش مرسوم برای واسنجی پروب‌های TDR وجود دارد. مرسوم ترین روش، واسنجی پروب‌ها در یک آزمایش جابجایی اختلاط پذیر^۶ با تزریق پیوسته^۷ املاح تا رسیدن به شرایط پایدار املاح است. این روش بوسیله رودز (1981) و رودز و همکاران (1989) برای برقراری ارتباط بین EC_a^{-۸} پیشنهاد شد. علی‌رغم دقت بالا، عیب اصلی این روش وقتگیر بودن و هزینه نسبتاً زیاد آن برای رسیدن به شرایط پایدار است (مالانتز و همکاران، 1994). روش دیگر، واسنجی پروب‌های TDR در آزمایش جابجایی اختلاط پذیر با تزریق یک پالس کوتاه^۹ از نمک مورد نظر است (10). روش سوم نیز تعیین رابطه مستقل بین مقاومت ظاهری (Z) و غلظت باقیمانده املاح در خاک است. نتایج هر سه روش بخصوص در لایه‌های سطحی برای خاک‌های همگن ماسه‌ای رضایت‌بخش بوده است (8، 18، 22). لیکن در خاک‌های غیرهمگن به دلیل وجود خلل و فرج درشت (ماکروپورها) و نواحی با رطوبت ساکن^{۱۰} و یا هدایت هیدرولیکی پایین، معمولاً واسنجی پروب‌های TDR چندان ساده نیست (10).

واسنجی پروب‌های TDR به عوامل مختلفی از جمله بافت خاک، مقدار رس، رطوبت خاک، هدایت الکتریکی (شوری) و درجه حرارت خاک بستگی دارد. دقت اندازه‌گیری TDR در خاک‌های ریز بافت و شور چندان رضایت‌بخش گزارش نشده است (2). استفاده از پروب‌های کوتاه و یا پوششدار^{۱۱} کلارایی آنها را در خاک‌های با شوری بالا افزایش می‌دهد (12 و 23). وارد و همکاران (1994) یک رابطه خطی بین Z و غلظت املاح (C) در رطوبت‌های مختلف پیشنهاد نمودند. هر چند رابطه مذکور در رطوبت‌های بالا و غلظت‌های پایین قدری رفتار غیرخطی از

مقدمه

دستگاه TDR دارای استفاده وسیع در اندازه‌گیری رطوبت و هدایت الکتریکی توده خاک^۱ (EC_a) بوده و به ابزاری مؤثر و با ارزش در علوم خاک تبدیل گردیده است. این دستگاه اولین بار توسط وارد و همکاران^۲ (1994) برای اندازه‌گیری غلظت املاح در محیط‌های سه بعدی پیشنهاد گردید. دارای محسن ویژه از جمله اندازه‌گیری توأمان رطوبت و غلظت املاح با کمترین تخریب ساختمان خاک است. لیکن واسنجی آن بخصوص برای اندازه‌گیری غلظت املاح در مقیاس بزرگ چندان ساده نیست. معمولاً برای اندازه‌گیری غلظت املاح توسط TDR چند سری واسنجی برای پروب‌های آن نیاز است تا بتوان ابتدا مقاومت ظاهری^۳ (Z) را به EC_a و سپس آن را به هدایت الکتریکی آب خاک^۴ (EC_w) و در ادامه EC_w را به غلظت املاح باقیمانده در خاک^۵ (C) مرتبط نمود.

اساس کار TDR براساس انتشار امواج الکترومغناطیسی به داخل کابلی است که به چند قطعه میله استیل هادی امواج الکترومغناطیسی وصل است. امواج پس از عبور از میله‌ها و انتشار در محیط متخلف اطراف خود مجدداً به سیستم بر می‌گردند. زمان رفت و برگشت امواج به ثابت دی‌الکتریک و کاهش امواج به هدایت الکتریکی خاک EC (مرتبط می‌شود. محققین ابتدا برای اندازه‌گیری EC با استفاده از TDR از اولین مقدار کمی بازتاب امواج الکترومغناطیسی استفاده نمودند (3، 17 و 26). در مطالعات بعدی از اولین بازتاب پس از رسیدن امواج به حالت پایدار استفاده گردید (24 و 26). EC خاک، طول و مقاومت کابل از عوامل مهم در زمان رسیدن به شرایط پایدار است (9). طول و مقاومت بیشتر کابل موجب می‌شود که امواج الکترومغناطیسی برگشتی از محیط متخلف دیرتر به شرایط پایدار برسند. عمدۀ مطالعات قبلی از فرضیاتی همچون صرف نظر کردن از مقاومت کابل و انتشار دی‌لکتریک خاک رنج می‌برند. نادیده گرفتن طول، مقاومت

6. Miscible displacement

7. Continuous

8. Short pulse

9. Immobile

10. Coated

1. Bulk soil electrical conductivity

2. Ward et al.

3. Impedance

4. Soil water electrical conductivity

5. Residual soil solute concentration

روبوت خاک در لایسیمترهای مورد مطالعه اندک بود.
تغییرات ربوط خاک در اعمق و زمانهای مختلف کمتر از 5 درصد حجمی بود.

مقادیر EC_w با استفاده از رابطه $C = \beta EC_w$ به غلظت املاح (C) بر حسب میلی گرم در لیتر تبدیل شدند. β یک ثابت تجربی است که در این تحقیق برای یون کلر در نمک KCl در آزمایشگاه برابر 260/89 تعیین شد.
در این تحقیق، ثابت دیالکتریک (K_a) که بوسیله TDR اندازه گیری شده بود، با استفاده از رابطه تاپ و همکاران (1980) به ربوط حجمی خاک تبدیل گردید. با توجه به اینکه درجه حرارت خاک طی مدت زمان آزمایش ها بیشتر از 10 درجه سانتی گراد اندازه گیری شده بود، تاثیر درجه حرارت روی مقادیر K_a ناچیز در نظر گرفته شد.
مطالعات تاپ و همکاران (1980) و همین طور زاگوسکی و همکاران (1982) نشان داد تاثیر درجه حرارت روی K_a تا زمانی که درجه حرارت خاک بیشتر از 5 درجه سانتی گراد باشد، ناچیز است.

شش لایسیمتر استوانهای شکل حاوی خاک دست نخورده (هریک دارای حجم تقریبی 0/5 مترمکعب) از دو نوع خاک در منطقه Louvain la Neuve کشور بلژیک تهیه شدند. سه لایسیمتر هر یک دارای 79 سانتی متر قطر و 105 سانتی متر ارتفاع از یک خاک لومی استخراج گردیدند. در ادامه از این لایسیمترها به عنوان لایسیمترهای لومی (L1, L2, L3) نام برده می شود. سه لایسیمتر دیگر به قطر 79 سانتی متر و ارتفاع 100 سانتی متر از یک خاک لوم ماسه ای استخراج که از این پس به عنوان لایسیمترهای لوم ماسه ای (P1, P2, P3) نام برده می شوند. این لایسیمترها با روش شرح داده شده بوسیله وان کلاستر و همکاران (1995) استخراج گردیدند. نمونه ای از لایسیمترهای تجهیز شده به وسایل مختلف اندازه گیری در شکل (1) نشان داده شده است. برخی مشخصات خاک لایسیمترهای مورد مطالعه در جدول (1) ارائه شده است. هر یک از لایسیمترها به وسایل اندازه گیری مختلف نظیر TDR (12 پروب برای هر کدام از لایسیمترها 1 تا 12 TDR₁) برای اندازه گیری ربوط و هدایت الکتریکی توده خاک، حسگرهای اندازه گیری درجه حرارت خاک

خود نشان داد. آنها یک رابطه خطی نیز بین غلظت املاح باقی مانده در خاک (C) و هدایت الکتریکی توده خاک (EC_a) گزارش نمودند.

هدف اصلی این تحقیق، بررسی مشکلات واسنجی پروباهای TDR برای اندازه گیری غلظت املاح در خاک است. این مشکلات در لایسیمترهای بزرگ، حاوی دو نمونه خاک لومی و لوم ماسه ای دست نخورده ارائه و پدیده خاصی تحت عنوان پدیده پس ماند املاح که ممکن است هنگام واسنجی پروب های TDR برای اندازه گیری غلظت املاح اتفاق افتد، معروفی و در ادامه نیز نحوه واسنجی پروب ها در چنین شرایطی بحث شده است.

مواد و روش ها

در دستگاه TDR، مقاومت ظاهری (Z) با استفاده از رابطه ذیل به هدایت الکتریکی توده خاک (EC_a) تبدیل می شود (17):

$$EC_a = \frac{K_p}{Z - Z_{cable}} f_T \quad (1)$$

که در آن، K_p ثابت پروب (L^{-1})، Z_{cable} مقاومت کابل و اتصالات مربوطه (اهم) و f_T فاکتور تصحیح درجه حرارت (-) است که از رابطه فرانسون¹ (1985) تعیین می گردد. رابطه فرانسون (1985) به صورت زیر است:

$$f_T = \frac{1}{1 + \alpha(T - 25)} \quad (2)$$

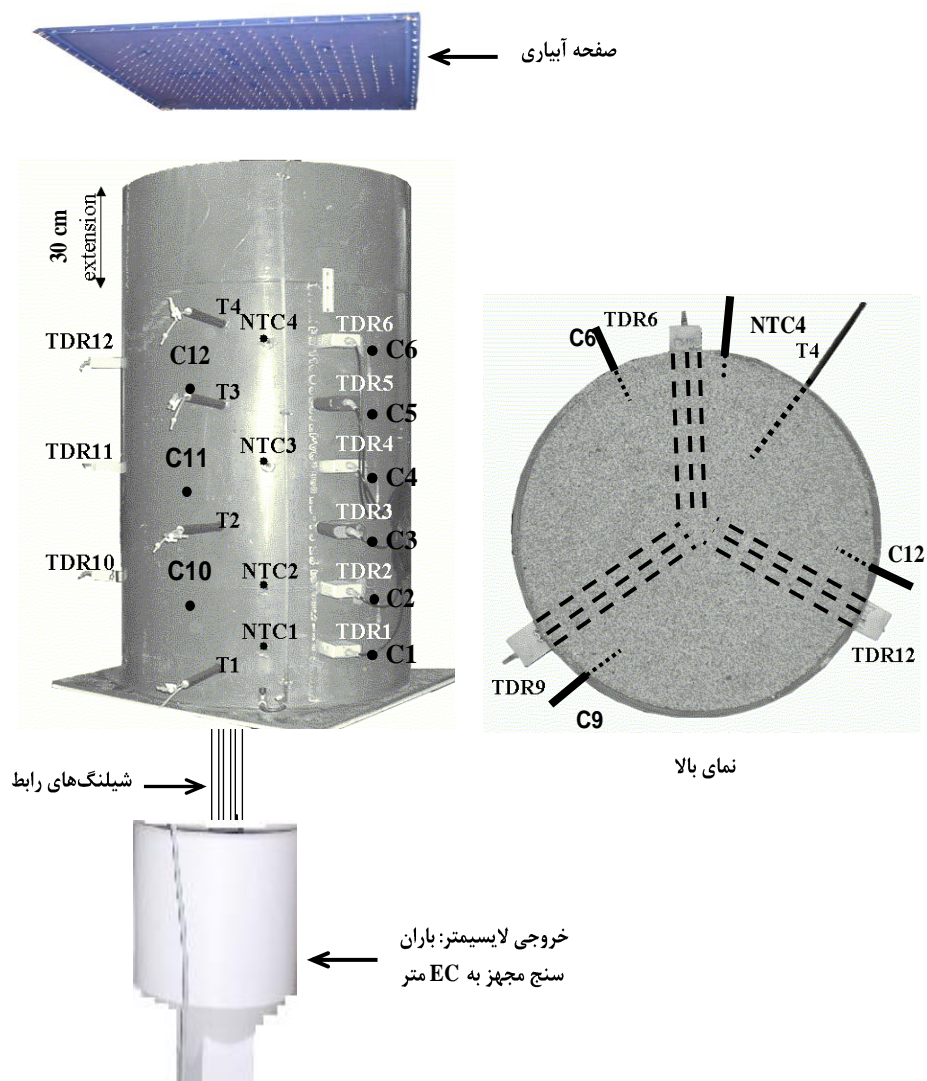
Mدل های خطی و غیرخطی زیادی برای ارتباط بین EC_a و هدایت الکتریکی محلول آب خاک (EC_w) و همین طور ارتباط بین EC_a و ربوط خاک (θ) در منابع وجود دارد که هر کدام دارای معایب و محاسن خود می باشد. یکی از روابط خطی معروف، به صورت ذیل است (20):

$$EC_a = a + b EC_w \quad (3)$$

a و b پارامترهای تجربی است که بطور خطی با ربوط خاک ارتباط دارند (وگلر و همکاران، 1996). در این تحقیق، مقادیر a و b ثابت در نظر گرفته شد. زیرا تغییرات

جدول 1- برخی مشخصات خاک لایسیمترهای مورد مطالعه

pH	جرم مخصوص ظاهری (g/cm^3)	مواد آلی (%)	افق	بافت			کلاس بافت	عمق (cm)	لایسیمتر
				مساهه سیلت	رس				
6/1	1/46	0/68	AP ₁	10/5	75/5	14	لومی	0-10	
6/1	1/51	0/31	AP ₂	12	73	15	لومی	10-30	
6/1	1/51	0/31	Bt ₁	9	73	18	لومی	30-50	لومی
6/1	1/51	0/28	Bt ₂	9/5	72	18/5	لومی	50-100	
5/3	1/50	2/07	AP	80	17	4	لوم ماسه‌ای	0-40	
5/1	1/50	0/45	AC	76	19	5	لوم ماسه‌ای	40-60	لوم
5/0	1/50	0/24	C	74	23	4	لوم ماسه‌ای	60-100	ماسه‌ای



شکل 1- نمونه‌ای از لایسیمترهای تجهیز شده به وسایل اندازه‌گیری
(NTC و TDR حسگر اندازه‌گیری درجه حرارت خاک است)
محفظه مکش، پروب دستگاه

در 6 دستگاه لایسیمتر مورد مطالعه انجام شد. ابتدا، پروبها خارج از نیمrix خاک در شش محلول KCl در بازه صفر تا 5 dS/m واسنجی گردیدند. بدین ترتیب که با قرار دادن هر یک از پروبها در محلولهای با هدایت الکتریکی TDR (مشخص، مقاومت ظاهری (Z) آنها با دستگاه TDR (EC_a) تعیین شدند. سپس، برای انجام یک واسنجی دیگر (1) در نیمrix خاک، بین مقادیر EC_a محاسبه شده (معادله 1) از TDR و مقادیر EC_w که بوسیله محفظه های مکش نمونه برداری شده بودند، ارتباط برقرار گردید. بدین منظور، یک آزمایش آبشویی در شرایط غیراشباع ولی تقریباً پایدار رطوبتی بر روی هر یک از لایسیمترها اجرا گردید. در این آزمایش محلول KCl با هدایت الکتریکی dS/m 10 به مدت 32 تا 48 ساعت به صورت پالس به لایسیمترها تزریق گردید. در این مدت مقاومت ظاهری (Z) هر 15 دقیقه در عمقهای مختلف بوسیله دستگاه TDR و نمونه های آب خاک در همان عمقها به صورت پالس به لایسیمترها تزریق گردید. پس از اتمام تزریق پالس، مجدداً جریان آب به لایسیمترها با محلول 1 dS/m برقرار و نمونه گیری محلول آب خاک تا چند روز ادامه یافت. هدایت الکتریکی نمونه های آب خاک (EC_w) بالاصله در آزمایشگاه بوسیله یک دستگاه EC متر واسنجی شده قرائت گردید. مقادیر مقاومت ظاهری پروبها نیز با استفاده از رابطه (1) که در مرحله قبلی واسنجی شده بود، به مقادیر EC_a تبدیل و سپس با برازش رابطه (3) به داده های EC_a-EC_w مقادیر پارامترهای تجربی a و b تعیین گردید.

نتایج و بحث

مقادیر ثابت پروبها (K_p) و مقاومت کابل و اتصالات مربوطه (Z_{cable}) از یک پروب تا پروب دیگر متفاوت بود 25/2 مقادیر K_p بین 1/009 تا 1/211 با ضریب تغییرات 61/7 درصد و مقادیر Z_{cable} بین 0/009 تا 1/122 با ضریب تغییرات مقادیر Z_{cable} علی رغم طول یکسان کابل برای همه پروبها

(NTC_1 تا NTC_4)، کپسول های مکش برای تهیه نمونه آب خاک (C₁ تا C₁₂)، تانسیومتر برای اندازه گیری مکش ماتریک خاک (T₁ تا T₄)، باران سنج برای اندازه گیری شدت جریان خروجی و EC متر بیوای تعیین EC آب خروجی از لایسیمترها، مججهز گردیدند (شکل 1). پروب های دستگاه TDR در سه ردیف با فواصل 120 درجه در اعماق مختلف به طور افقی در لایسیمترها نصب شدند. 6 پروب در یک ردیف و در اعمق 10، 25، 40، 55، 70 و 85 سانتی متر و دو ردیف دیگر هر کدام با سه پروب در اعمق 10، 40 و 70 سانتیمتر (مجموعاً 12 پروب در هر لایسیمتر) نصب گردید (شکل 1). پروب ها از نوع سه شاخه استیل، فواصل شاخه 2/5 سانتی با طول 42/5 سانتی متر و قطر 0/5 سانتیمتر بودند. محفظه های مکش به فواصل 10 سانتیمتر از پروب های TDR و در همان عمق ها نصب شدند. محفظه های مکش هنگام آزمایشها به یک پمپ خلاء متصل و نمونه های آب خاک در مکش 800 سانتیمتر جمع آوری شدند. در برخی از محفظه های مکش بخصوص در لایسیمترهای لوم شنی امکان تهیه عصاره آب خاک میسر نشد. برای توزیع یکنواخت جریان آب ورودی به لایسیمترها از یک مخزن بارانساز استفاده گردید (شکل 1). این وسیله شامل یک مخزن مکعبی به بعد طول، عرض و ارتفاع به ترتیب 80 × 80 × 1 سانتی متر بود. در قسمت تحتانی مخزن 280 سوزن پژشکی به قطر 0/5 میلیمتر در شبکه ای 5 سانتی تعبیه شدند. قسمت فوقانی مخزن نیز با استفاده از شیلنگ رابط به یک پمپ کوچک متصل گردید. بدین ترتیب هنگام انجام آزمایش ها با تنظیم پمپ برای یک شدت جریان ورودی ثابت، آب بطور یکنواخت توسط سوزنهای از قسمت تحتانی مخزن روی سطح لایسیمترها پخش گردید. جزئیات بیشتر در خصوص نحوه تهیه و تجهیز لایسیمترها بوسیله عباسی و همکاران (2006) ارائه گردیده است.

پس از آبشویی همه لایسیمترها با محلول 1 dS/m کلرید پتاسیم و پس از رسیدن به شرایط رطوبتی و آبشویی پایدار، دو سری آزمایش برای واسنجی 72 پروب نصب شده

مقاومت‌های متفاوتی را ایجاد نمودند.

TDR از نوع غلظتهای شدت جریان^۳ میباشد (۷). غلظت توازن املاح را در نواحی ساکن^۴ و متحرک^۵ اندازه-

گیری می‌نماید. در صورتی که غلظتهای مربوط به محفظه‌های مکش عمدهاً معرف نواحی متحرک هستند.

علیرغم مطالعات نسبتاً زیاد در خصوص واسنجی پروبهای TDR برای اندازه‌گیری رطوبت و هدایت الکتریکی، این پدیده خاص در منابع قبلی گزارش نشده است.

به دلیل مشاهده پدیده ذکر شده، امکان این که بتوان یک مدل منحصر به فرد را بین داده‌های EC_w و EC_a

برازش داد، وجود نداشت. در حالت تعادل بین غلظت املاح در نواحی ساکن و متحرک، مقادیر غلظت‌های اندازه گیری

شده بوسیله TDR به سمت مقادیر نمونه برداری شده بوسیله محفظه‌های مکش همگرا می‌شوند (۶). لذا، در این

تحقیق برای واسنجی پروبهای غلبه بر پدیده یاد شده فقط از داده‌های اندازه گیری شده در شرایط تعادل و یا نزدیک به تعادل استفاده گردید. از آنجائی که حالت تعادل بخصوص

در زمان‌های اولیه پس از تزریق پالس در نیمرخ خاک برقرار نبوده و تاثیر زیادی روی واسنجی پروبهای خواهد داشت،

لذا، در بررسیهای بعدی از این داده‌ها صرف نظر و فقط داده‌های حالت تعادل و یا نزدیک شرایط تعادل منظور و

مدل خطی رابطه (۳) به داده‌های اندازه گیری شده برآش داده شد.

برای خاک لومی یک رابطه و برای خاک لوم ماسه‌ای دو رابطه برای اعمق ۰-۳۰ و ۰-۱۰۰ سانتیمتر پیشنهاد

گردید (شکل ۳). مقادیر *a* و *b* برای خاک لومی به ترتیب ۰/۱۶۱ و ۰/۲۲۴ با ضریب تبیین $R^2 = 0/935$ بدست آمد.

در خاک لوم ماسه‌ای مقادیر $a = 0/135$ و $b = 0/301$ با $R^2 = 0/977$ برای لایه اول و $a = 0/065$ و $b = 0/191$ با $R^2 = 0/973$

درصد برای خاک لومی نسبتاً کوچک لیکن برای خاک لوم ماسه‌ای بخصوص برای ضریب *a* قدری بزرگتر بود. این

(۳) متر) به خاطر آن بود که مخاللهای Multiplexer

هنگام ترسیم رابطه بین EC_w و EC_a برای یک پروب معین نصب شده در عمق معین، انتظار یک رابطه خطی بین آن دو می‌رفت. لیکن رفتار خاصی شبیه پدیده پسماند

روطوبتی بین مقادیر محاسبه شده از TDR و محفظه‌های مکش مشاهده گردید (شکل ۲). در طول مدت اعمال پالس کلرید کالسیم، با غلظت مشخص به لایسیمترها و اندازه گیری

EC_w و EC_a در اعمق مختلف با TDR و محفظه‌های مکش، غلظت املاح از مقدار اولیه به تدریج افزایش و پس از

قطع پالس ورودی غلظت املاح مجدد شروع به کاهش می‌نماید. بدیهی است که به ازای مقادیر یکسان EC_a روی

بال صعودی و نزولی منحنی رخنه، انتظار مقادیر مشابه نیز برای EC_w می‌رفت که چنین نشد (بالاهاي صعودی و نزولی

روی شکل ۲ نشان داده شده‌اند). لذا، در این مقاله از این پدیده تحت عنوان پدیده پسماند املاح نام برده شده است.

این پدیده به وضوح در هر دو خاک مورد مطالعه و در همه پروبهای با درجات متفاوت مشاهده گردید. برای نمونه، فقط نتایج یکی از لایسیمترهای خاک لومی (L₂) در شکل (۲)

TDR نشان داده شده است. قرائت پروبهای دستگاه واکنش سریعتری نسبت به بال صعودی^۱ منحنی رخنه^۲ در

مقایسه با داده‌های محفظه‌های مکش داشتند. اختلاف بین حجم خاک دیده شده با پروبهای TDR و محفظه‌های

مکش، متفاوت بودن زمان عکس العمل آن دو به تغییر غلظت املاح و همین طور تفاوت بین ماهیت مقادیر غلظت

محاسبه شده با TDR و محلولهای تهیه شده بوسیله محفظه‌های مکش از دلایل اصلی وقوع این پدیده است.

حجم نمونه خاک که پروب TDR با توجه به مشخصات آن را اندازه گیری می‌کند حدود ۸۰۰ سانتیمتر مکعب و

در محفظه‌های مکش به مراتب کمتر است. غلظت های اندازه گیری شده بوسیله TDR معرف غلظت باقی مانده املاح در خاک است در حالی که غلظت های تعیین شده از

روی نمونه محلولهای خارج شده بوسیله محفظه‌های مکش

3. Flux concentration

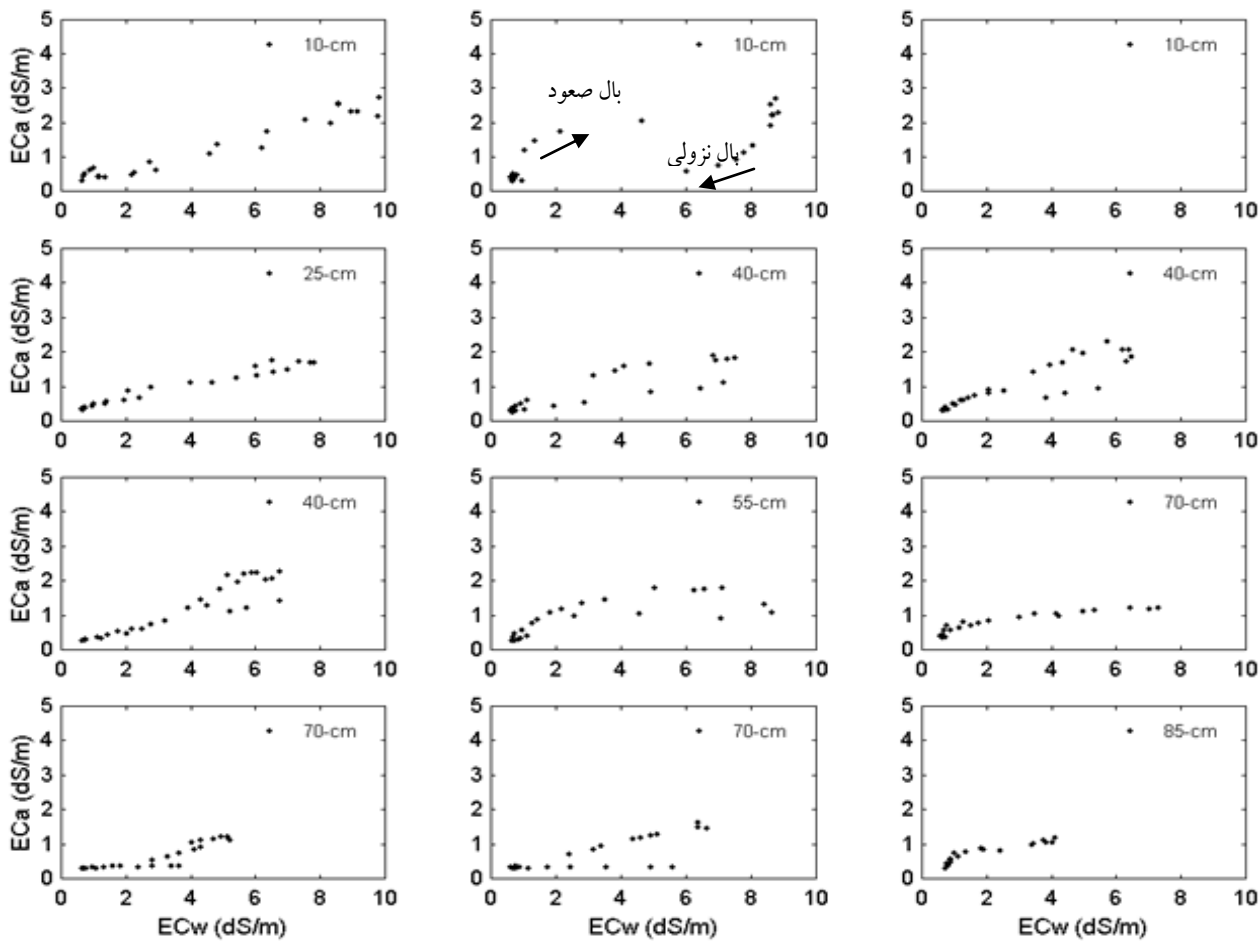
4. Immobile

5. Mobile

1. Rising limb

2. Breakthrough curve

بدان دلیل است که خاک لومی قدری همگن بوده و مدل خطی و گلر و همکاران (1996) بیشتر برای خاک های همگن پیشنهاد شده است (4 و 20).



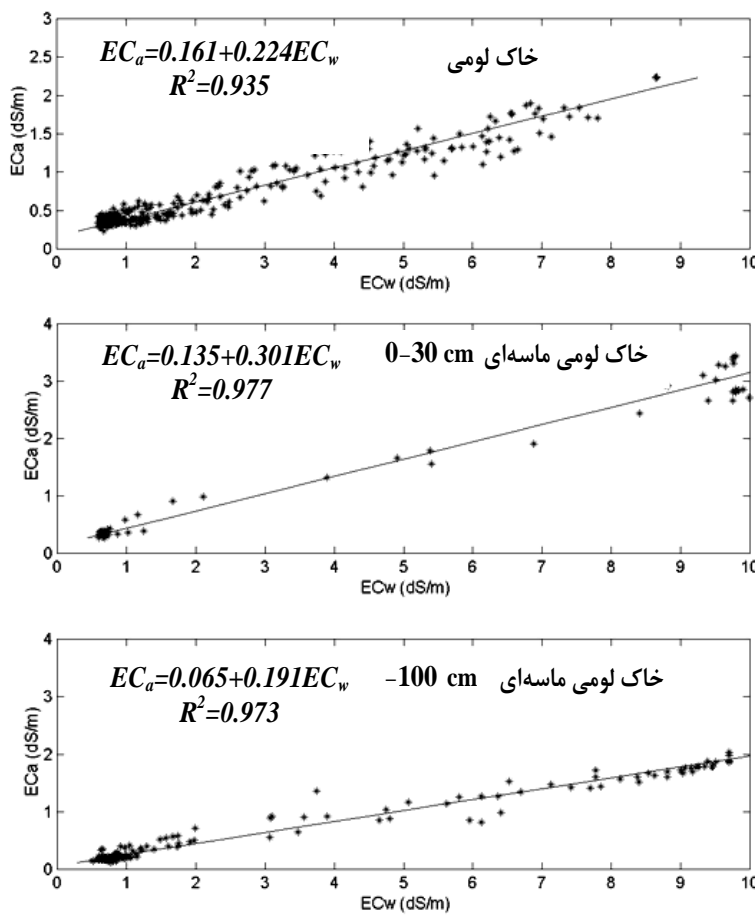
شکل 2- رابطه بین هدایت الکتریکی توده خاک (EC_a) محاسبه شده از TDR و هدایت الکتریکی محلول آب خاک (EC_w) نمونه گیری شده بوسیله محفظه های مکش در 12 نمونه از پروب های لایسیمتر L2 از یکی از محفظه های مکش نصب شده در عمق 10 سانتیمتری نمونه گیری آب خاک میسر نشد.

در یک آزمایش پله ای¹ غلظت محلول ورودی کلرید پتابسیم به 1 dS/m افزایش یافت. از داده های این آزمایش برای صحت سنجی پروب ها در لایسیمترهای لومی استفاده گردید. انتظار میرفت که در بخش ابتداء و انتهایی منحنی رخنه مربوط به این آزمایش (شکل 4)، غلظت املالح محلول (EC_w) به ترتیب 0/5 و 1 dS/m باشد. همانطور که از شکل 4 ملاحظه می شود در عمدۀ پروبها غلظت بخش ابتدایی و انتهایی منحنی رخته دارای چنین شرایطی است.

دقت واسنجی پروبها برای چند نقطه از منحنی رخنه با EC_w مشخص صحت سنجی شد. بدین ترتیب که برای صحت سنجی پروب ها از داده هایی غیر از داده های مورد استفاده در مرحله واسنجی استفاده گردید. در لایسیمترها دو آزمایش دیگر با محلول کلرید پتابسیم (علاوه بر آزمایش واسنجی پروبها) اجرا گردید. از یکی از این آزمایش ها برای صحت سنجی استفاده گردید. در لایسیمتر های لومی dS/m (L1, L2, L3) پس از آبشویی لایسیمتر ها با محلول 0/5 کلرید پتابسیم و بعد از رسیدن به شرایط پایدار آبشویی،

1. Solute step

در لایسیمترهای لوم ماسهای (P1, P2, P3) نیز از آبشویی با کلرید پتاسیم برای صحت سنجی استفاده گردید. برای این منظور در یک آزمایش که در آن کلرید پتاسیم به صورت پالس^۱ با غلظت 10 dS/m بمدت 24 ساعت تزریق شده بود، استفاده بعمل آمد.



شکل 3- رابطه بین هدایت الکتریکی توده خاک (EC_a) اندازه گیری شده با TDR و هدایت الکتریکی محلول آب خاک (EC_w) برای لایسیمترهای (a) لومی، (b) لوم ماسهای عمق 0-30 سانتی متر و (c) لوم ماسهای عمق 100-30 سانتی متر.

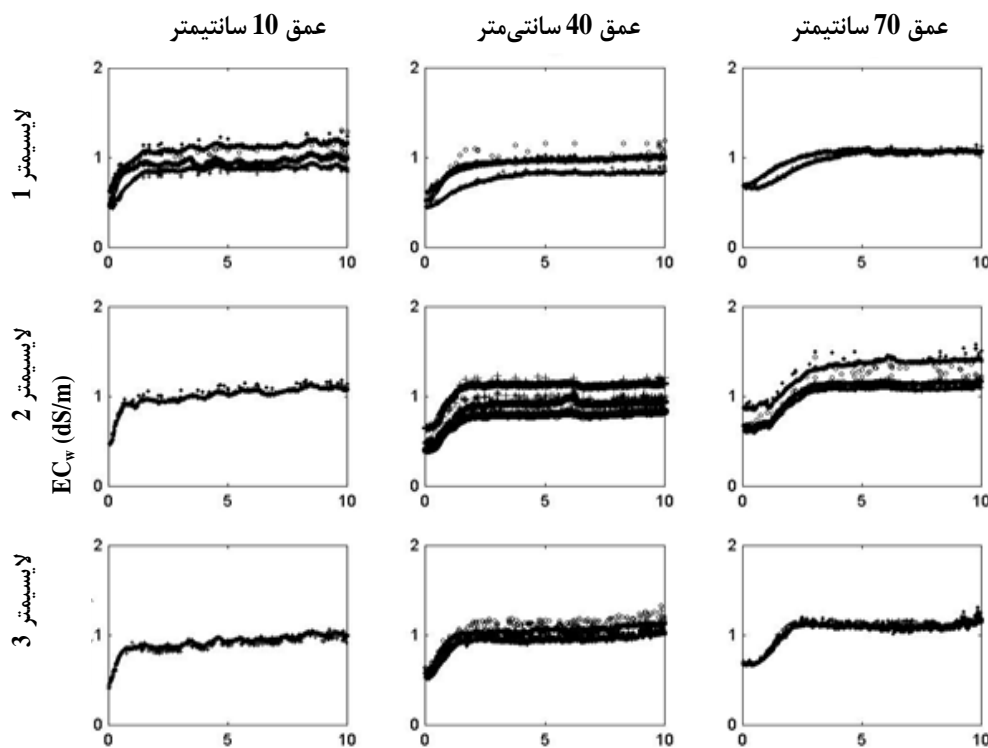
پروپ ها در خاک مورد مطالعه از دقت کافی برخوردار هستند.

نتیجه گیری

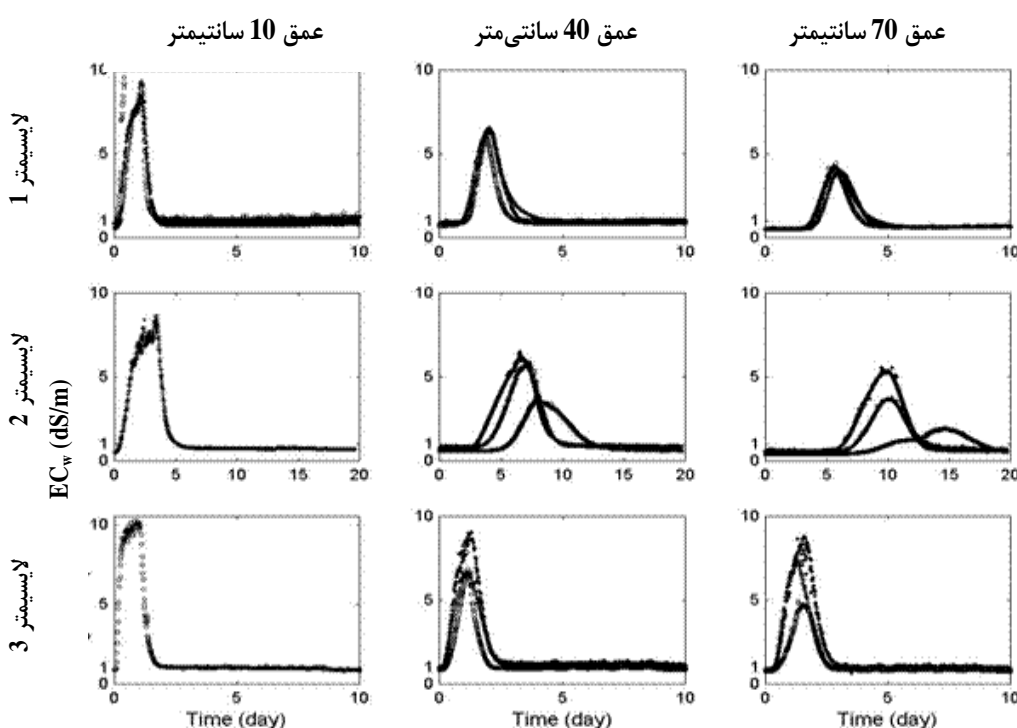
در این مقاله، نحوه واسنجی پروپ های TDR استفاده از محفظه های مکش در لایسیمترهای بزرگ حاوی دو نمونه خاک لومی و لوم ماسهای برای اندازه گیری غلظت املاح و دشواریهای آن بحث گردید. برای اندازه گیری غلظت املاح توسط TDR سه سری واسنجی نیاز است تا بتوان غلظت املاح را در خاک برآورد نمود. بخشی از واسنجی خارج از نیمرخ خاک و در محلولهای با غلظت مشخص برای تعیین مشخصات پروپ ها و بخش دیگر در نیمرخ خاک برای تعیین رابطه بین مقاومت ظاهری- هدایت الکتریکی توده خاک (EC_a) و هدایت الکتریکی محلول آب خاک (EC_w) انجام می شود.

در پروپ های لایه سطحی (عمق 10 سانتیمتر) این لایسیمترها انتظار میرفت که مدت کوتاهی پس از تزریق پالس به لایسیمترها، غلظت املاح محلول به برسد که چنین شرایطی در اکثر پروپ های لایه سطحی برقرار بود. پس از قطع پالس ورودی، آبشویی لایسیمترها با محلول 1 dS/m کلرید پتاسیم ادامه یافت. پس از رسیدن به شرایط تقریباً پایدار آبشویی، غلظت املاح محلول خاک به مقدار ورودی کاهش می یابد. چنین وضعیتی نیز در منحنی رخنه همه پروپ ها و در همه اعمق مشاهده می شود (شکل 5). کاهش نقطه اوج منحنی رخنه در لایه های زیرین به خاطر فرایند انتشار¹ و پراکندگی² در نیمرخ خاک است. علی رغم، کمبود نقاط اندازه گیری برای صحت سنجی پروپ ها، به نظر می رسد که روابط ارائه شده برای واسنجی

1. Dispersion
2. Diffusion



شکل 4- مقادیر پیشینی شده هدایت الکتریکی محلول آب خاک از طریق TDR با استفاده از معادله واسنجی شده بین EC_a و EC_w در اعماق مختلف لایسیمترهای لومی (توجه شود که برخی از سه پروب نصب شده در سه عمق مشابه در حین آزمایش کار نمیکردند)



شکل 5- مقادیر پیشینی شده هدایت الکتریکی محلول آب خاک از طریق TDR با استفاده از معادله واسنجی شده بین EC_a و EC_w در اعماق مختلف لایسیمترهای لومی (توجه شود که برخی از سه پروب نصب شده در سه عمق مشابه در حین آزمایش کار نمیکردند)

نمونه های تهیه شده بوسیله محفظه های مکش مرتبط گردید. در شرایط تعادل مقادیر غلظت های اندازه گیری شده بوسیله TDR به سمت مقادیر نمونه برداری شده بوسیله محفظه های مکش همگرا می شوند. لذا برای غلبه بر پدیده ذکر شده و واسنجی پروپ های TDR با دقت قابل قبول، از داده های اندازه گیری شده در شرایط تعادل و با نزدیک به حالت تعادل استفاده و پروپ ها واسنجی گردیدند. برای این منظور روابط خطی بین EC_w و EC_a برآش داده شد. نتایج نشان داد که روابط پیشنهادی با دقت قابل قبولی غلظت املاح در نیمرخ خاک را برآورد می نماید.

با استفاده از TDR اندازه گیری و EC_w با کمک محفظه های مکش نمونه برداری و بوسیله یک دستگاه EC و EC_w در این تحقیق، هنگام تعیین رابطه بین EC_w و EC_a رفتار خاصی تحت عنوان پدیده پسماند املاح مشاهده گردید. این پدیده در هر دو خاک مورد مطالعه و در همه پروپ ها با درجات مختلف مشاهده گردید. دلایل این پدیده به اختلاف حجم اشغال شده بین پروپهای TDR و حجم خاکی که بوسیله محفظه های مکش عصاره گیری می شود، متفاوت بودن زمان عکس العمل آن دو به تغییر غلظت املاح و تفاوت بین ماهیت غلظت محاسبه شده با TDR و

REFERENCES

1. Abbasi, F., M. Javaux, M. Vanclooster, J. Feyen, G. Wyseure, & G. Nziguheba, 2006. Experimental study of water flow and sulphate transport at monolith scale. *Agric. Water Management*, 79(1): 93-112.
2. Chandler, D.G., M. Seyfried, M. Murdock, & J.P. McNamara. 2004. Field calibration of water content reflectometers. *Soil Sci. Soc. Am. J.*, 68:1501-1507.
3. Dalton, F. N., W.N. Herkelrath, D.S. Rawlins, & J.D. Rhoades, 1984. Time-domain reflectometry: Simultaneous measurement of soil water content and electrical conductivity with a single probe. *Science* 224:989-990.
4. Ferre, P.A., J.D. Redman, D.L. Rudolph, & R.G. Kachanoski, 1998. The dependence of the electrical conductivity measured by time domain reflectometry on the water content of a sand. *Water Resour. Res.*, 32: 271-279.
5. Franson, M.A.H., 1985. Standard methods for the examination of water and wastewater. 16th ed. Am. Public Health Assoc., Washington, DC.
6. Heimovaara, T.J., A.G. Focke, W. Bouten, & J.M. Verstraeten, 1995. Assessing temporal variations in soil water composition with time domain reflectometry. *Soil Sci. Soc. Am. J.*, 59: 689-698.
7. Jury, W.A. & K.Roth. 1990. Transfer function and solute movement through soil. Birkhauser Verlag, Basel, 226.
8. Kachanoski, R.G., E. Pringle, & A. Ward. 1992. Field measurement of solute travel time using time domain reflectometry. *Soil Sci. Soc. Am. J.*, 56:47-52.
9. Lin, C.P., C.C. Chung, & S.H. Tang, 2007. Accurate time domain reflectometry measurement of electrical conductivity accounting for cable resistance and recording time. *Soil Sci. Soc. Am. J.*, 74(4):
10. Mallants, D., M. Vanclooster, M. Meddahi, & J. Feyen. 1994. Estimating solute transport parameters on undisturbed soil columns using time domain reflectometry. *J. Contam. Hydrol.*, 17:91-109.
11. Mallants, D., M. Vanclooster, N. Toride, J. Vanderborght, M.Th. van Genuchten, & J. Feyen, 1996. Comparison of three methods to calibrate TDR for monitoring solute movement in undisturbed soil. *Soil Sci. Soc. Am. J.*, 60: 747-754.
12. Nadler, A., 2005. Comments on “Field calibration of water content reflectometers”. *Soil Sci. Soc. Am. J.*, 69: 1356-1357.
13. Reece, C.F. 1998. Simple method for determining cable length resistance in time domain reflectometry systems. *Soil Sci. Soc. Am. J.*, 62: 314-317.

14. Rhoades, J.D. 1981. Predicting bulk soil electrical conductivity vs. saturation paste extract electrical conductivity calibrations from soil properties. *Soil. Soc. Am. J.*, 45:42-44.
15. Rhoades, J.D., N.A. Manteghi, P.J. Shouse, & W.L. Alves. 1989. Soil electrical conductivity and soil salinity: New formulations and calibrations. *Soil Sci. Soc. Am. J.*, 53: 433-439.
16. Topp, G.C, J.L. Davis, & A.P. Annan, 1980. Electromagnetic determination of soil water content: Measurements in coaxial transmission lines. *Water Resour. Res.*, 16: 574-582.
17. Topp, G.C., M. Yanuka, W.D. Zebchuck, & S. Zegelin, 1988. Determination of electrical conductivity using time domain reflectometry: soil and water experiments in coaxial lines. *Water Resour. Res.*, 24: 945-952.
18. Vanclooster, M., D. Mallants, J. Diels, & J. Feyen. 1993. Determining local scale solute transport parameters using time domain reflectometry (TDR). *J. Hydrol.*, 148:93-107.
19. Vanclooster, M., D. Mallants, J. Vanderborght, J. Diels, J. Van Orshoven, & J. Feyen, 1995. Monitoring solute transport in a multilayered sandy lysimeter using time domain reflectometry. *Soil Sci. Soc. Am. J.*, 59: 337-344.
20. Vogeler, I., B.E. Clothier, S.R. Green, D.R. Scotter, & R.W. Tillman, 1996. Characterizing water and solute movement by time domain reflectometry and disk permeametry. *Soil Sci. Soc. Am. J.*, 60: 5-12.
21. Ward, A.L., R.G. Kachanoski, A.P. von Bertoldi, I.J. van Wesenbeeck, & C.J. Hamlen, 1988. Solute transport during three-dimensional unsaturated water flow: axisymmetric measurements using time domain reflectometry. *Soil Sci. Soc. Am. Abstracts*, 1988, pp. 192.
22. Ward, A.L., R.G. Kachanoski, & D.E. Elrick. 1994. Laboratory measurements of solute transport using time domain reflectometry. *Soil Sci. Soc. Am. J.*, 58:1031-1039.
23. Wyseure G.C.L., M.A. Mojid, & M.A. Malik. 1997. Measurement of volumetric water content by TDR in saline soils. *European J. Soil Sci.*, 48: 347-354.
24. Yanuka, M., G.C. Topp, S. Zegelin, & W.D. Zebchuk. 1988. Multiple reflection and attenuation of time domain reflectometry pulses: Theoretical consideration for application to soil and water. *Water Resour. Res.*, 24:939-944.
25. Zagorskii, V.V., V.M. Nesterov, E.A. Zamotrinskaya, & T.G. Miikhailova, 1982. Dependence of dielectric permittivity of moist disperse materials on the temperature. *Soil Phys. J. (Engl. Transl.)*, 25: 62-65.
26. Zegelin, S., L. Whire, & D.R. Jenkins. 1989. Improved filed probes for soil water content and electrical conductivity measurement using time domain reflectometry. *Water Resour. Res.*, 25:2367-2376.